

# LPOB60: Exemples de phénomènes quantiques

(1)

- Biblio:
- Physique tout en un PC/PC\*, d'intégrale Daniell
  - Cours de Basdevant de Polytechnique
  - Physique quantique tome I Fonda et al., Michel Le Bellac.

Niveau: L3

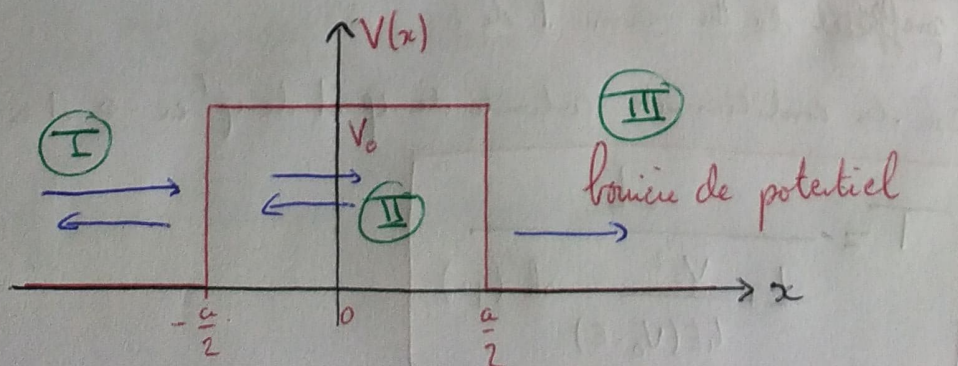
- Prérequis:
- Base de la mécanique quantique : éq de Schrödinger, espace de Hilbert du spin  $\frac{1}{2}$  formule bras / ket

Intro: La mécanique quantique a été introduite au début du XX<sup>me</sup> siècle afin d'expliquer de nombreux phénomènes expérimentaux qui n'étaient jusqu'à-là pas compris avec la physique classique. On va au cours de cette leçon présenter deux phénomènes quantiques qui sont intéressants car ils possèdent des applications concrètes et très utilisées : effet tunnel et la renverse magnétique.

## I - Effet tunnel (Physique Tout en un PC/PC\*)

### 1) Présentation du problème

- effet tunnel: mise en évidence de la pénétration de la fonction d'onde dans une région normalement inaccessible avec la mécanique classique (devant une barrière de potentiel)



- Fonction d'ordre étudiée :  $\psi(x,t) = \psi(x) e^{-\frac{iEt}{\hbar}}$  (état stationnaire car  $V$  ne dépend pas de  $t$ )
- Eq de Schrödinger indépendante du temps :  $-\frac{\hbar^2}{2m} \frac{\partial^2 \psi}{\partial x^2} + V(x) \psi(x) = E \psi(x)$

## 2) Résolution de l'éq de Schrödinger

- Dans les zones I et III :  $V(x) = 0$

$$-\frac{\hbar^2}{2m} \frac{\partial^2 \psi}{\partial x^2} = E \psi(x) \Leftrightarrow \frac{\partial^2 \psi}{\partial x^2} = -\frac{2mE}{\hbar^2} \psi(x)$$

$$\boxed{\begin{aligned}\psi_I(x) &= A_1 e^{ikx} + B_1 e^{-ikx} \\ \psi_{III}(x) &= A_3 e^{ikx} + B_3 e^{-ikx}\end{aligned}} \quad \text{où } k = \frac{\sqrt{2mE}}{\hbar}$$

- Dans la zone II :  $V(x) = V_0$

$$\frac{\partial^2 \psi}{\partial x^2} = \frac{(V_0 - E)2m}{\hbar^2} \psi$$

On suppose  $E < V_0$  :  $\boxed{\psi(x) = A_2 e^{Kx} + B_2 e^{-Kx}}$  où  $K = \frac{\sqrt{2m(V_0 - E)}}{\hbar}$

- Physiquement :  $B_3 = 0$

$$\boxed{\psi_{III}(x) = A_3 e^{ikx}} \Rightarrow \text{ordre non nulle après la barrière de potentiel}$$

Animation : [ressources.univ-lorraine.fr/AccesLibre/LHM/Pedago/physique/02/divers/gbarri.html](http://ressources.univ-lorraine.fr/AccesLibre/LHM/Pedago/physique/02/divers/gbarri.html)

On peut observer que après la barrière de potentiel : l'ordre n'est pas nulle.

- On peut aussi calculer la probabilité de transmission  $T$  pour cela, il faut utiliser les conditions de continuité de  $\psi$  et de  $\psi'$  en  $-\frac{a}{2}$  et en  $\frac{a}{2}$

Après calcul, on obtient :

$$\boxed{T = \frac{1}{1 + \frac{V_0^2}{4E(V_0 - E)} \sin^2(Ka)}}$$

R<sub>4</sub>: La probabilité de transmission T n'est jamais nulle pour une brûlure réelle. (2)

L'effet tunnel.

dû à l'existence de l'onde émergente après la première brûlure dans la zone 2.

cf Annulation: moins l'onde émergente dans la zone 2.

\* On peut remarquer que T  $\nearrow$   $V_0$  :

$$\begin{array}{l} E \uparrow \\ a \downarrow \\ m \downarrow \end{array}$$

cf annulation : faire varier les paramètres.

• Approximation de la brûlure épaisse : si  $a \gg \delta = \frac{1}{q}$

$$\hookrightarrow T \approx \frac{16 E (V_0 - E)}{V_0^2} e^{-\frac{2a}{\delta}}$$

$$\text{car } \sinh^2(qa) \approx \frac{e^{2qa}}{4}$$

AN : électron :  $m = 10^{-30} \text{ kg}$  .  $V_0 = 4 \text{ eV}$  .  $a = 0,3 \text{ mm}$  et  $E = \frac{V_0}{2}$

$$\hookrightarrow \delta = \frac{\hbar}{\sqrt{2m(V_0 - E)}} = \frac{\hbar}{\sqrt{mV_0}} \approx 1,3 \cdot 10^{-10} \text{ m}$$

$$\hookrightarrow T = \frac{16 \left(\frac{V_0}{2}\right)^2}{V_0^2} e^{-\frac{2a}{\delta}} = 4 e^{-\frac{2a}{\delta}} \approx 0,04 \quad \text{possible mais négligeable.}$$

\* proton :  $m = 10^{-27} \text{ kg}$  idem

$$\hookrightarrow \delta = 4,2 \cdot 10^{-12} \text{ m}$$

$$\hookrightarrow T \approx 10^{-62} \quad \text{très faible}$$

cf diapo : tableau d'analyses numériques

### 3) Application : microscope à effet tunnel

- Mise au point en 1984 par G.Binnig et H.Rohrer dans les labs IBM de Zurich  
Le Prix Nobel de Physique en 1986
- Il permet de faire la topographie de surfaces métalliques avec une résolution latérale de 1A et une résolution verticale de 0,1A  
La résolution latérale vient du fait que l'on utilise une pointe conductrice qui se termine avec 1 seule atome (extrêmement fine).
- Principe : \* on approche une pointe très proche d'une plaque conductrice ( $< 1\text{ nm}$ )  
Le bruit de potentiel
  - \* On applique une différence de potentiel fixe entre les 2 conducteurs.
  - \* En approchant la pointe du conducteur, des électrons peuvent être arrachés par effet tunnel  
La création d'un courant : courant tunnel  $\rightarrow I \propto e^{-\frac{2d}{\lambda}}$
  - \* Pour réaliser la topographie du conducteur, on fixe  $I$  et  $V$   $\Rightarrow$  fixe la distance entre le conducteur et la pointe, ainsi en déplaçant la pointe selon  $x$  et  $y$  elle va suivre le mouvement du conducteur selon  $z$ . Il suffit donc de mesurer  $x$ ,  $y$  et  $z$  grâce à des piezoélectriques très précis.

Transistor : on va étudier un autre phénomène quantique qui possède des applications très utiles  
Résistance magnétique.

## II - Résonance magnétique (Bastien)

### 1) Présentation du problème

- On va étudier ici un système à deux niveaux le spin du proton dans un champ magnétique.

Rappel : Spin  $\frac{1}{2}$  : deux états propres:  $|j=\frac{1}{2}; m=\frac{1}{2}\rangle = |+\rangle$  de l'opérateur  $S_z$  de  $m_p = \frac{1}{2}$   
 $|j=\frac{1}{2}; m=-\frac{1}{2}\rangle = |-\rangle$

- On applique un champ uniforme :  $\vec{B}_0 = B_0 \hat{\vec{z}}$

Dans la base  $(|+\rangle, |-\rangle)$ , on a:  $H_0 = -\vec{p} \cdot \vec{B}_0$   
 $= -\frac{\hbar}{2} \gamma \hbar B_0 \sigma_z$  où  $\sigma_z = \begin{pmatrix} 1 & 0 \\ 0 & -1 \end{pmatrix}$   
 $H_0 = +\frac{\hbar}{2} \omega_0 \sigma_z$  où  $\omega_0 = \gamma B_0$ .  $\gamma$ : facteur gyroscopique  
 $\gamma = 5,53$  proton.

$$H_0 = \begin{pmatrix} +\frac{\hbar \omega_0}{2} & 0 \\ 0 & -\frac{\hbar \omega_0}{2} \end{pmatrix}$$

$\Rightarrow |+\rangle$  n'est pas état propre mais  $m_p$  est chargé.

Rq: précession de Larmor: mouvement circulaire qui tourne autour de l'axe z.

- On applique en plus, un champ périodique:  $\vec{B}_1(t) = B_1 [\cos(\omega t) \hat{x} + \sin(\omega t) \hat{y}]$

$$\hat{H}_1 = -\vec{p} \cdot \vec{B}_1 = +\frac{\hbar}{2} \omega_1 [\sigma_x \cos(\omega t) - \sigma_y \sin(\omega t)]$$
 où  $\omega_1 = \gamma B_1$  fréquence de nutation

$$\hat{H}_1 = \begin{pmatrix} 0 & +\frac{\hbar \omega_1}{2} e^{-i\omega t} \\ +\frac{\hbar \omega_1}{2} e^{i\omega t} & 0 \end{pmatrix} \quad \sigma_x = \begin{pmatrix} 0 & 1 \\ 1 & 0 \end{pmatrix} \quad \sigma_y = \begin{pmatrix} 0 & -i \\ i & 0 \end{pmatrix}$$

On pose  $|\psi(t)\rangle = a_+(t)|+\rangle + a_-(-)\rangle$

$$\int i\hbar \dot{a}_+ = +\frac{\hbar \omega_0}{2} a_+ + \frac{\hbar \omega_1}{2} e^{-i\omega t} a_-$$

$$\int i\hbar \dot{a}_- = \frac{\hbar \omega_1}{2} e^{i\omega t} a_+ - \frac{\hbar \omega_0}{2} a_-$$

$$\text{On pose } b_{\pm}(t) = e^{\pm i\frac{\omega_1 t}{2}} a_{\pm}(t) \Rightarrow \begin{cases} i\dot{b}_+ = -\frac{\omega - \omega_0}{2} b_+ + \frac{\omega_1}{2} b_- \\ i\dot{b}_- = \frac{\omega_1}{2} b_+ + \frac{\omega - \omega_0}{2} b_- \end{cases}$$

On obtient un nouvelle hamiltonien indépendant du temps :  $\hat{H} = \frac{\hbar}{2} \begin{pmatrix} \omega_0 - \omega & \omega_1 \\ \omega_1 & \omega - \omega_0 \end{pmatrix}$

En combinant les éqns diff., on obtient :  $\ddot{b}_{\pm} + \left(\frac{\Omega}{2}\right)^2 b_{\pm} = 0$  où  $\Omega^2 = (\omega - \omega_0)^2 + \omega_1^2$

On pose initialement le spin est dans l'état  $|+\rangle$

donc :  $b_{-}(t) = -\frac{i\omega_1}{\Omega} \sin\left(\frac{\Omega t}{2}\right)$

$b_{+}(t) = \cos\left(\frac{\Omega t}{2}\right) + i\frac{\omega - \omega_0}{\Omega} \sin\left(\frac{\Omega t}{2}\right)$

## 2) Principe de la résonance magnétique

- La probabilité d'être dans l'état  $|+\rangle$  à l'instant  $t$  est :

$$P^+ = |\langle - | \psi(t) \rangle|^2$$

$$= |b_{+}(t)|^2$$

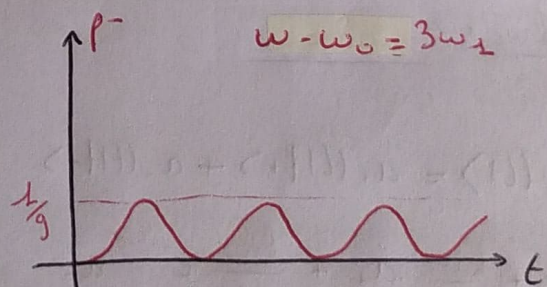
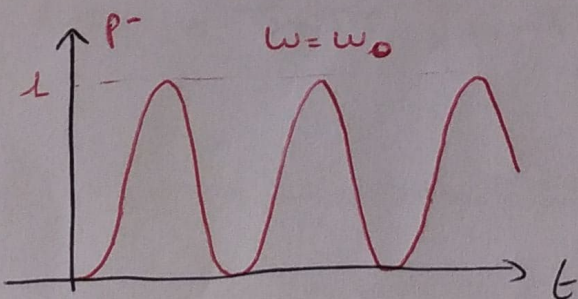
$P^+ = \left(\frac{\omega_1}{\Omega}\right)^2 \sin^2\left(\frac{\Omega t}{2}\right)$  oscillation de Rabi

On obtient une première de résonance :

\* si  $\omega \neq \omega_0$  ( $\omega$  différent) :  $P^+$  est très faible

\* si  $\omega = \omega_0$  :  $\Omega = \omega_1$  :  $P^+ = 1$  pour  $t_m = \frac{(2m+1)\pi}{\omega_1}$  où  $m$  entier. Résonance

\* si  $\omega$  proche de  $\omega_0$  : proba appréciable de être dans l'état  $|+\rangle$ .



Ex:  $B \approx 1 T$  :  $\frac{\omega_0}{2\pi} \approx 28 \text{ GHz}$  electron

$\approx 43 \text{ MHz}$  proton

### 3) Applications RMN

(4)

- La RMN est utilisée principalement pour déterminer la structure de molécules d'intérêt biologiques ou chimiques.
- Principe: on place un échantillon dans un champ uniforme  $\vec{B}_0$  de valeur  $T$ .
  - \* on applique un champ de radiofréquence  $\vec{B}_1(t)$  moins de la résonance pendant  $t = \frac{\pi}{\omega_1}$  ainsi les spins qui étaient lors dans l'état  $|+\rangle$  passent dans l'état  $|-\rangle$  non est à résonance.  
⇒ inversion de population.
  - \* retour à l'équilibre qui engendre un champ magnétique tourant à la fréquence  $\omega_0$ .  
on mesure ce champ grâce à la spirale RF
  - \* On fait la TF du signal puis on observe son spectre ⇒ signal RMN.
- On peut rentrer à la structure de la molécule étudiée en:
  - \* la fréq de résonance dépend des noyaux par l'intermédiaire de  $\gamma$
  - \* pour un même noyau, la fréquence de résonance est légèrement modifiée par l'environnement chimique de l'atome : champ magnétique effectif :  $B'_0 = (1 - \sigma) B_0$  où  $\sigma$  : déplacement chimique ( $\text{ppm}^{-1}$ )
  - \* les interactions entre spins nucléaires voisins provoquent un déviasage des fréquences de résonance en plusieurs sous fréquences ⇒ caractéristiques des groupements chimiques.

Exemple: spectre RMN de l'éthanol.

$$800 \text{ MHz} \Rightarrow B \approx 5 \text{ T} \quad \text{car } 1 \text{ T} \equiv 42,5 \text{ MHz.}$$

Cel. On a donc vu au cours de cette leçon que des phénomènes quantiques pouvaient avoir des applications très concrètes et très utilisées, on peut rajouter l'IRM pour faire une image en 3 dimensions de la densité des graisses, liquides... dans le corps humain.

Il existe pleins d'autres phénomènes quantiques comme : étude moléculaire d'aujourd'hui, double ponts, IRM, laser, désintégration à

## Remarques du correcteur :

- Le plan est bon, bien de faire ces applications
- Autres possibilités : faire plusieurs petites applications : quantification de l'énergie, dualité onde / corpuscule, ...
- Ne pas faire plus de calculs

## Questions :

- Pourquoi on peut utiliser l'éq de Schrödinger indép du temps dans  $\mathbb{I}$  ?
- Comment l'obtenir ?
- Autres exemples de phénomènes quantiques ?
- Autre possibilité d'utiliser le microscope à effet tunnel ? avec  $\exists$  constat,  $I$  inc.
- Est ce qu'on peut avoir des oscillations de Rabi sous dépendance temporelle dans  $\mathbb{I}$  ? Oui
- Détaillez un peu les calculs qui ont été faits
- Autre application de l'effet tunnel ? ammonium, radioactivité  $\alpha$
- Comment s'appelle le modèle de la radioactivité  $\alpha$  ? Gammov.
- Qu'est ce que ça était lié ?